

بِسْمِ اللَّهِ الرَّحْمَنِ الرَّحِيمِ

همهی امتیازهای این پایان‌نامه به دانشگاه بوعلی‌سینا همدان تعلق دارد. در صورت استفاده از تمام یا بخشی از مطالب پایان‌نامه در مجلات، کنفرانس‌ها و یا سخنرانی‌ها، باید نام دانشگاه بوعلی‌سینا (یا استاد یا استادان راهنمای پایان‌نامه) و نام دانشجو با ذکر مأخذ و ضمن کسب مجوز کتبی از دفتر تحصیلات تكمیلی دانشگاه ثبت شود. در غیر این صورت مورد پیگرد قانونی قرار خواهد گرفت.



دانشگاه بوعلی سینا

دانشکده‌ی علوم
گروه فیزیک

پایان‌نامه:

برای دریافت درجه‌ی کارشناسی ارشد
در رشته‌ی فیزیک (گرایش هسته‌ای)

عنوان:

معادله‌ی حالت ماده‌ی هسته‌ای در دمای معین با پتانسیل اسکرم

استاد راهنما:

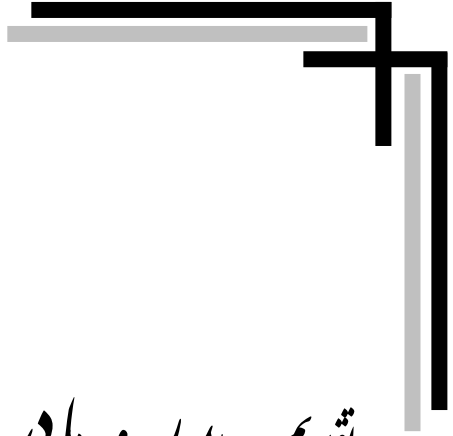
دکتر سعیده زریونی

استاد مشاور:

دکتر فریدون سموات

پژوهشگر:

مسعود چوبکار



تقدیم به پدر و مادر فداکارم که مهرستان بنایی شد

برای تلاش پر شورم در کسب علم و دانش

و

همسر مهر بانم که شریک حفظه های تلخ و شیرینم بوده



است.

تشکر و قدردانی

سر برآستان جلال پروردگار بی‌همتا می‌نهم که دگر بار توفیق اندوختن دانشی هرچند اندک را روزیم فرمود. اینک که توفیق جمع آوری و تهیه این پایان‌نامه را یافته‌ام، بر خود واجب می‌دانم از تمامی عزیزان و سرورانی که در طی انجام این پژوهش بنده را یاری نموده‌اند، تشکر و قدردانی نمایم.

بی‌تردید انجام این تحقیق بدون راهنمایی و مساعدت استاد محترم سرکار خانم دکتر سعیده زریونی مقدور نبود. بر خود لازم می‌دانم تا از تلاش‌های بی‌شایسته ایشان در پایه‌ریزی و مشاورت در طول انجام این پژوهه صمیمانه تقدیر و تشکر نمایم. همچنین از جناب آقای دکتر فریدون سموات که زحمت مشاوره این پایان‌نامه را بر عهده داشتند صمیمانه تشکر و قدردانی می‌نمایم.

از جناب آقای دکتر علیرضا درودی و جناب آقای دکتر بابک ژاله که زحمت قرائت و داوری این پایان‌نامه را بر عهده گرفتند کمال تقدیر و تشکر را دارم.

از پدر و مادر بزرگوارم که همواره تکیه‌گاه و حامی من در کلیه مراحل زندگی‌ام بوده‌اند کمال سپاس و تشکر را ابراز می‌نمایم. از همسر عزیزم که در تایپ و ویرایش این پایان‌نامه به من کمک کردند، قدردانی می‌نمایم. از خواهران عزیزم که همراه همیشگی من در کلیه مراحل زندگی بوده‌اند، کمال سپاس و تشکر را دارم. از تمام دوستانم که در طول مدت تحصیل مرا مورد لطف و عنایت خود قرار دادند صمیمانه سپاسگزارم.

مسعود چوبکار

تیر ۸۸

نام خانوادگی دانشجو: چوبکار	نام: مسعود
عنوان پایان نامه: معادله‌ی حالت ماده‌ی هسته‌ای در دمای معین با پتانسیل اسکرم	
استاد راهنما: دکتر سعیده زریونی	
استاد مشاور: دکتر فریدون سموات	
مقطع تحصیلی: کارشناسی ارشد	رشته: فیزیک
دانشگاه: بوعالی سینا- همدان	دانشکده: علوم
تاریخ دفاعیه: ۸۸/۰۴/۲۷	تعداد صفحه: ۱۰۹
کلید واژه‌ها: معادله‌ی حالت، ماده‌ی هسته‌ای، پتانسیل اسکرم، ماده‌ی نوترونی قطبیده، نفوذپذیری	
چکیده:	
<p>معادله‌ی حالت و فشار ماده‌ی هسته‌ای را در دمای معین ($T \neq 0$), با استفاده از چند پتانسیل اسکرم بدست آوردیم. رفتار پتانسیل‌های SkI3*, SLy6 و SkM* تقریباً یکسان و با تجربه سازگار است. در حالی که پتانسیل‌های SkP, BSk1 و SKI4 به ناپایداری در ماده‌ی نوترونی قطبیده منجر می‌شوند. به همین دلیل پتانسیل‌های مناسبی در محاسبات مربوط به اخترفیزیک نیستند.</p>	

فهرست مطالب

صفحه

عنوان

۲ مقدمه

فصل اول: مکانیک آماری و ترمودینامیک

۸	مقدمه
۹	۱-۱- مکانیک آماری
۱۲	۱-۲- مکانیک آماری کوانتومی
۱۵	۱-۳- آمار فرمی-دیراک
۱۸	۱-۴- آمار بوز-انیشتین
۲۰	۱-۵- چگالش بوز-انیشتین
۲۱	۱-۶- مکانیک آماری و روابط ترمودینامیکی

فصل دوم: پتانسیل‌های دو نوکلئونی

۲۴	مقدمه
۲۵	۲-۱- نیروی هسته‌ای
۲۵	۲-۲- پتانسیل هسته‌ای و خواص آن
۲۶	۲-۳- پتانسیل یوکاوا
۲۷	۲-۴- انواع پتانسیل هسته‌ای
۲۷	۲-۴-۱- پتانسیل‌های حقیقی دو نوکلئونی

۲۹ ۲-۴-۲ - پتانسیل‌های دو نوکلئونی پدیده‌شناختی

فصل سوم: ماده‌ی هسته‌ای

۳۶	مقدمه
۳۷	۱-۳ - ماده‌ی هسته‌ای
۳۹	۲-۳ - نوکلئون‌ها بعنوان گاز فرمی
۴۳	۳-۳ - مدل ذره‌ی مستقل
۴۴	۴-۳ - مدل جفت مستقل
۴۵	۵-۳ - تئوری هارتی-فوك

فصل چهارم: معادله‌ی حالت ماده‌ی هسته‌ای

۴۸	مقدمه
۴۹	۱-۴ - محاسبه‌ی انرژی ماده‌ی هسته‌ای
۴۹	۲-۴ - معادله‌ی حالت ماده‌ی هسته‌ای
۴۹	۱-۲-۴ - ماده‌ی هسته‌ای متقارن
۶۱	۲-۲-۴ - ماده‌ی هسته‌ای نامتقارن
۸۱	۳-۲-۴ - ماده‌ی نوترونی
۸۷	۴-۲-۴ - ماده‌ی نوترونی قطبیده
۱۰۲	۳-۴ - بحث و نتیجه‌گیری

مراجع ١٠٥

چکیده انگلیسی ١٠٩

فهرست شکل‌ها

صفحه

عنوان

فصل دوم: پتانسیل‌های دو نوکلئونی

شکل ۲-۱: پتانسیل یوکاوا ۲۷

فصل چهارم: معادله‌ی حالت ماده‌ی هسته‌ای

شکل ۴-۱: نمودار انرژی آزاد ماده‌ی هسته‌ای متقارن بر حسب چگالی

برای دماهای مختلف و پتانسیل اسکرم SKM* ۵۶

شکل ۴-۲: نمودار انرژی آزاد ماده‌ی هسته‌ای متقارن بر حسب چگالی

برای دماهای مختلف و پتانسیل اسکرم SLY6 ۵۷

شکل ۴-۳: نمودار انرژی آزاد ماده‌ی هسته‌ای متقارن بر حسب چگالی

برای دماهای مختلف و پتانسیل اسکرم SKI3 ۵۷

شکل ۴-۴: نمودار انرژی آزاد ماده‌ی هسته‌ای متقارن بر حسب چگالی

برای پتانسیلهای مختلف اسکرم و دمای $T = 5$ ۵۸

شکل ۴-۵: نمودار انرژی آزاد ماده‌ی هسته‌ای متقارن بر حسب چگالی

برای پتانسیلهای مختلف اسکرم و دمای $T = 15$ ۵۸

شکل ۴-۶: نمودار فشار ماده‌ی هسته‌ای متقارن بر حسب چگالی

برای دماهای مختلف و پتانسیل اسکرم SKM* ۵۹

شکل ۴-۷: نمودار فشار ماده‌ی هسته‌ای متقارن بر حسب چگالی

برای دماهای مختلف و پتانسیل اسکرم SLY6 ۵۹

- شکل ۴-۸: نمودار فشار ماده‌ی هسته‌ای متقارن بر حسب چگالی
۶۰ برای دماه‌ای مختلف و پتانسیل اسکرم SKI3
- شکل ۴-۹: نمودار فشار ماده‌ی هسته‌ای متقارن بر حسب چگالی
۶۰ برای پتانسیلهای مختلف اسکرم و دمای $T = 5$
- شکل ۴-۱۰: نمودار فشار ماده‌ی هسته‌ای متقارن بر حسب چگالی
۶۱ برای پتانسیلهای مختلف اسکرم و دمای $T = 15$
- شکل ۴-۱۱: نمودار انرژی آزاد ماده‌ی هسته‌ای نامتقارن برای SKM*
۶۴ در دماه‌ای مختلف، به ازای $r = 0.2$
- شکل ۴-۱۲: نمودار انرژی آزاد ماده‌ی هسته‌ای نامتقارن برای SKM*
۶۵ در دماه‌ای مختلف، به ازای $r = 0.6$
- شکل ۴-۱۳: نمودار انرژی آزاد ماده‌ی هسته‌ای نامتقارن برای SLY6
۶۵ در دماه‌ای مختلف، به ازای $r = 0.2$
- شکل ۴-۱۴: نمودار انرژی آزاد ماده‌ی هسته‌ای نامتقارن برای SLY6
۶۶ در دماه‌ای مختلف به ازای $r = 0.6$
- شکل ۴-۱۵: نمودار انرژی آزاد ماده‌ی هسته‌ای نامتقارن برای SKI3
۶۶ در دماه‌ای مختلف به ازای $r = 0.2$
- شکل ۴-۱۶: نمودار انرژی آزاد ماده‌ی هسته‌ای نامتقارن برای نیروی 3
۶۷ در دماه‌ای مختلف به ازای $r = 0.6$
- شکل ۴-۱۷: نمودار انرژی آزاد ماده‌ی هسته‌ای نامتقارن برای نیروهای اسکرم مختلف به ازای $T = 5$ و $r = 0.2$

شکل ۴-۱۸: نمودار انرژی آزاد ماده‌ی هسته‌ای نامتقارن برای نیروهای

۶۸

اسکرم مختلف به ازای $r = 0.6$ و $T = 5$

شکل ۴-۱۹: نمودار انرژی آزاد ماده‌ی هسته‌ای نامتقارن برای نیروهای

۶۸

اسکرم مختلف به ازای $r = 0.2$ و $T = 10$

شکل ۴-۲۰: نمودار انرژی آزاد ماده‌ی هسته‌ای نامتقارن برای نیروهای

۶۹

اسکرم مختلف به ازای $r = 0.6$ و $T = 10$

شکل ۴-۲۱: نمودار انرژی آزاد ماده‌ی هسته‌ای نامتقارن برای نیروهای

۶۹

اسکرم مختلف به ازای $r = 0.2$ و $T = 15$

شکل ۴-۲۲: نمودار انرژی آزاد ماده‌ی هسته‌ای نامتقارن برای نیروهای

۷۰

اسکرم مختلف به ازای $r = 0.6$ و $T = 15$

شکل ۴-۲۳: نمودار انرژی آزاد ماده‌ی هسته‌ای نامتقارن برای نیروهای

۷۰

اسکرم مختلف به ازای $r = 0.2$ و $T = 20$

شکل ۴-۲۴: نمودار انرژی آزاد ماده‌ی هسته‌ای نامتقارن برای نیروهای

۷۱

اسکرم مختلف به ازای $r = 0.6$ و $T = 20$

شکل ۴-۲۵: نمودار انرژی آزاد ماده‌ی هسته‌ای نامتقارن برای ضرایب

۷۱

r مختلف به ازای $SKM^* = 5$ و $T = 5$

شکل ۴-۲۶: نمودار انرژی آزاد ماده‌ی هسته‌ای نامتقارن برای ضرایب

۷۲

r مختلف به ازای $SKM^* = 15$ و $T = 15$

شکل ۴-۲۷: نمودار انرژی آزاد ماده‌ی هسته‌ای نامتقارن برای ضرایب

۷۲

r مختلف به ازای $SKI3 = 5$ و $T = 5$

شکل ۴-۲۸: نمودار انرژی آزاد ماده‌ی هسته‌ای نامتقارن برای ضرایب

۷۳

..... SKI3 و $T = 15$ مختلف به ازای r

شکل ۴-۲۹: نمودار انرژی آزاد ماده‌ی هسته‌ای نامتقارن برای ضرایب

۷۳

..... SLY6 و $T = 5$ مختلف به ازای r

شکل ۴-۳۰: نمودار انرژی آزاد ماده‌ی هسته‌ای نامتقارن برای ضرایب

۷۴

..... SLY6 و $T = 15$ مختلف به ازای r

شکل ۴-۳۱: نمودار فشار ماده‌ی هسته‌ای نامتقارن برای SKM*

۷۴

..... در دماهای مختلف، به ازای $r = 0.2$

شکل ۴-۳۲: نمودار فشار ماده‌ی هسته‌ای نامتقارن برای SKM*

۷۵

..... در دماهای مختلف، به ازای $r = 0.8$

شکل ۴-۳۳: نمودار فشار ماده‌ی هسته‌ای نامتقارن برای SLY6

۷۵

..... در دماهای مختلف، به ازای $r = 0.2$

شکل ۴-۳۴: نمودار فشار ماده‌ی هسته‌ای نامتقارن برای SLY6

۷۶

..... در دماهای مختلف، به ازای $r = 0.8$

شکل ۴-۳۵: نمودار فشار ماده‌ی هسته‌ای نامتقارن برای SKI3

۷۶

..... در دماهای مختلف، به ازای $r = 0.2$

شکل ۴-۳۶: نمودار فشار ماده‌ی هسته‌ای نامتقارن برای SKI3

۷۷

..... در دماهای مختلف، به ازای $r = 0.8$

شکل ۴-۳۷: نمودار فشار ماده‌ی هسته‌ای نامتقارن برای نیروهای

۷۷

..... اسکروم مختلف و $T = 5$ ، به ازای $r = 0.2$

- شکل ۴-۳۸: نمودار فشار ماده‌ی هسته‌ای نامتقارن برای نیروهای
اسکرم مختلف و $T = 5$ ، به ازای $r = 0.6$
- شکل ۴-۳۹: نمودار فشار ماده‌ی هسته‌ای نامتقارن برای نیروهای
اسکرم مختلف و $T = 15$ ، به ازای $r = 0.2$
- شکل ۴-۴۰: نمودار فشار ماده‌ی هسته‌ای نامتقارن برای نیروهای
اسکرم مختلف و $T = 15$ ، به ازای $r = 0.6$
- شکل ۴-۴۱: نمودار فشار ماده‌ی هسته‌ای نامتقارن برای SKM*
و ضرایب r مختلف
- شکل ۴-۴۲: نمودار فشار ماده‌ی هسته‌ای نامتقارن برای SLY6
و ضرایب r مختلف
- شکل ۴-۴۳: نمودار فشار ماده‌ی هسته‌ای نامتقارن برای SKI3
و ضرایب r مختلف
- شکل ۴-۴۴: نمودار انرژی آزاد ماده‌ی نوترونی بر حسب چگالی برای دماهای
اسکرم مختلف و پتانسیل
- شکل ۴-۴۵: نمودار انرژی آزاد ماده‌ی نوترونی بر حسب چگالی برای دماهای
اسکرم مختلف و پتانسیل SLY6
- شکل ۴-۴۶: نمودار انرژی آزاد ماده‌ی نوترونی بر حسب چگالی برای دماهای
اسکرم مختلف و پتانسیل SKI3
- شکل ۴-۴۷: نمودار انرژی آزاد ماده‌ی نوترونی بر حسب چگالی برای دمای
اسکرم مختلف و پتانسیل $T = 5$

- شکل ۴-۴: نمودار انرژی آزاد ماده‌ی نوترونی بر حسب چگالی برای دمای
۸۴ $T = 10$ و پتانسیل‌های اسکرم مختلف
- شکل ۴-۵: نمودار انرژی آزاد ماده‌ی نوترونی بر حسب چگالی برای دمای
۸۵ $T = 15$ و پتانسیل‌های اسکرم مختلف
- شکل ۴-۶: نمودار انرژی آزاد ماده‌ی نوترونی بر حسب چگالی برای دمای
۸۵ $T = 20$ و پتانسیل‌های اسکرم مختلف
- شکل ۴-۷: نمودار فشار ماده‌ی نوترونی بر حسب چگالی برای دماهای
۸۶ مختلف و پتانسیل اسکرم SKM*
- شکل ۴-۸: نمودار فشار ماده‌ی نوترونی بر حسب چگالی برای دماهای
۸۶ مختلف و پتانسیل اسکرم SLY6
- شکل ۴-۹: نمودار فشار ماده‌ی نوترونی بر حسب چگالی برای دماهای
۸۷ مختلف و پتانسیل اسکرم SKI3
- شکل ۴-۱۰: نمودار انرژی آزاد ماده‌ی نوترونی قطبیده در دماهای مختلف
۹۰ برای SKM* ، به ازای $r = 0.2$
- شکل ۴-۱۱: نمودار انرژی آزاد ماده‌ی نوترونی قطبیده در دماهای مختلف
۹۰ برای SKM* ، به ازای $r = 0.6$
- شکل ۴-۱۲: نمودار انرژی آزاد ماده‌ی نوترونی قطبیده در دماهای مختلف
۹۱ برای SLY6 ، به ازای $r = 0.2$
- شکل ۴-۱۳: نمودار انرژی آزاد ماده‌ی نوترونی قطبیده در دماهای مختلف
۹۱ برای SLY6 ، به ازای $r = 0.6$

شکل ۴-۵۷: نمودار انرژی آزاد ماده‌ی نوترونی قطبیده در دماهای مختلف
۹۲ برای SKI3 ، به ازای $r = 0.2$

شکل ۴-۵۸: نمودار انرژی آزاد ماده‌ی نوترونی قطبیده در دماهای مختلف
۹۲ برای SKI3 ، به ازای $r = 0.6$

شکل ۴-۵۹: نمودار انرژی آزاد ماده‌ی نوترونی قطبیده برای نیروهای اسکرم
۹۳ مختلف به ازای $r = 0.4$ و $T = 5$

شکل ۴-۶۰: نمودار انرژی آزاد ماده‌ی نوترونی قطبیده برای نیروهای اسکرم
۹۳ مختلف به ازای $r = 0.4$ و $T = 10$

شکل ۴-۶۱: نمودار انرژی آزاد ماده‌ی نوترونی قطبیده برای نیروهای اسکرم
۹۴ مختلف به ازای $r = 0.4$ و $T = 15$

شکل ۴-۶۲: نمودار انرژی آزاد ماده‌ی نوترونی قطبیده برای نیروهای اسکرم
۹۴ مختلف به ازای $r = 0.4$ و $T = 20$

شکل ۴-۶۳: نمودار انرژی آزاد ماده‌ی نوترونی قطبیده برای SKM* ، به ازای
۹۵ ضرایب r مختلف در دمای $T = 5$

شکل ۴-۶۴: نمودار انرژی آزاد ماده‌ی نوترونی قطبیده برای SKM* ، به ازای
۹۵ ضرایب r مختلف در دمای $T = 15$

شکل ۴-۶۵: نمودار انرژی آزاد ماده‌ی نوترونی قطبیده برای SLY6 ، به ازای
۹۶ ضرایب r مختلف در دمای $T = 5$

شکل ۴-۶۶: نمودار انرژی آزاد ماده‌ی نوترونی قطبیده برای SLY6 ، به ازای
۹۶ ضرایب r مختلف در دمای $T = 15$

شکل ۴-۶۷: نمودار انرژی آزاد ماده‌ی نوترونی قطبیده برای SKI3 ، به ازای

۹۷

ضرایب r مختلف در دمای $T = 5$

۹۷

شکل ۴-۶۸: نمودار انرژی آزاد ماده‌ی نوترونی قطبیده برای Ski3، به ازای

ضرایب r مختلف در دمای $T = 15$

۹۸

شکل ۴-۶۹: نمودار فشار ماده‌ی نوترونی قطبیده در دماهای مختلف برای

$r = 0.4$ ، به ازای SKM*

۹۸

شکل ۴-۷۰: نمودار فشار ماده‌ی نوترونی قطبیده در دماهای مختلف برای

$r = 0.4$ ، به ازای SLY6

۹۹

شکل ۴-۷۱: نمودار فشار ماده‌ی نوترونی قطبیده در دماهای مختلف برای

$r = 0.4$ ، به ازای SKI3

۹۹

شکل ۴-۷۲: نمودار فشار ماده‌ی نوترونی قطبیده برای اسکرمهای مختلف

در دمای $T = 5$ ، به ازای $r = 0.2$

۱۰۰

شکل ۴-۷۳: نمودار فشار ماده‌ی نوترونی قطبیده برای اسکرمهای مختلف

در دمای $T = 15$ ، به ازای $r = 0.2$

۱۰۰

شکل ۴-۷۴: نمودار فشار ماده‌ی نوترونی قطبیده برای پتانسیل اسکرم SKM* در

دماهای $T = 5$ ، به ازای مقادیر مختلف r

۱۰۱

شکل ۴-۷۵: نمودار فشار ماده‌ی نوترونی قطبیده برای پتانسیل اسکرم SLY6 در

دماهای $T = 5$ ، به ازای مقادیر مختلف r

۱۰۱

شکل ۴-۷۶: نمودار فشار ماده‌ی نوترونی قطبیده برای پتانسیل اسکرم SKI3 در

دماهای $T = 5$ ، به ازای مقادیر مختلف r

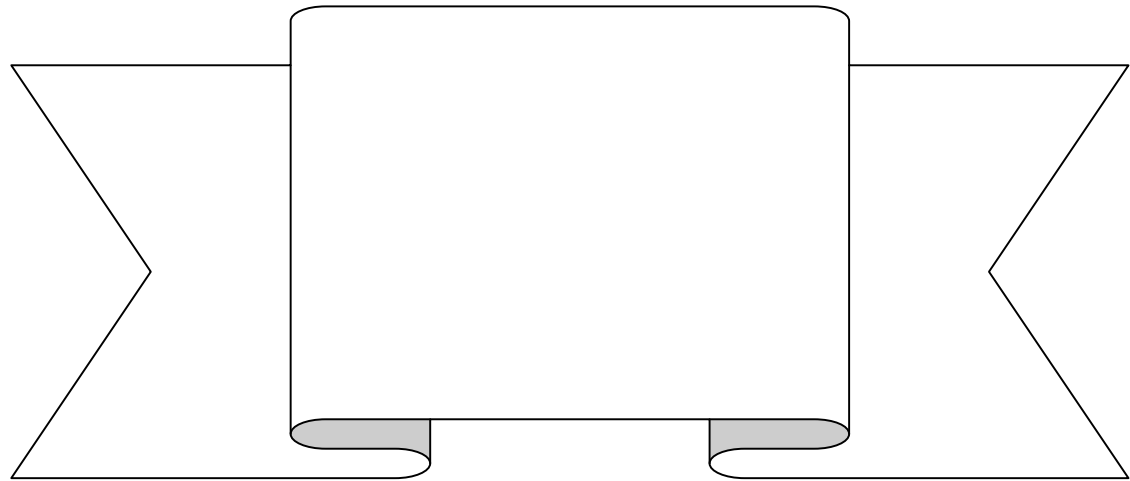
فهرست جداول

صفحه

عنوان

فصل دوم: پتانسیل‌های دو نوکلئونی

جدول ۱-۲: پارامترهای نیروهای مختلف اسکرم ۳۴



مقدمه

بررسی خواص سیستم‌های بس‌ذرهای به علت داشتن تعداد زیاد ذرات و برهم‌کنش‌های مختلف بین آنها، مسئله‌ای پیچیده است. در بسیاری از موارد که با ساختار هسته‌ای ماده سروکار داریم، زمان دخالتی ندارد و باید معادله‌ی مستقل از زمان شرودینگر را حل نمود. برهم‌کنش نوکلئون نوکلئون با پتانسیل اسکرم^۱ که بر اساس تئوری هارتی - فوک مورد استفاده قرار می‌گیرد برای تعیین ویژگیهای

¹ Skyrme